

بِنَمْ خَدا



مرکز دانلود رایگان  
محلبسوی مطالب اورژی و مواد

---

[www.Iran-mavad.com](http://www.Iran-mavad.com)



## Evaluation of lamellar tearing in HSLA-100 steel

### Abstract

HSLA-100 steel as a hot-rolled steel with high strength and ductility is extensively used in making large structures such as naval ships and submarines. The heterogeneous nature of the hot deformation process causes the anisotropy of steel plates. So in hot rolled steel plates there is the possibility of lamellar tearing. In the present study by using the z-directional tensile test and taking the characteristics of inclusions into account, the susceptibility of lamellar tearing of HSLA-100 steel has been assessed. The results show that the HSLA-100 steel has considerable resistance to lamellar tearing. Also the microstructural evaluation show that HSLA-100 has special inclusion which gives rise to its enough resistance to lamellar tearing.

**Key words:** Lamellar tearing, HSLA-100 steel, nonmetallic inclusion, Through-thickness direction.

Conference 2014

## ارزیابی مقاومت به پارگی لایه ای فولاد HSLA-100

### چکیده

فولاد HSLA-100 به عنوان یک فولاد نورد گرم شده با استحکام و انعطاف‌پذیری بالا کاربرد کلیدی در سازه‌های عظیم دریایی نظیر کشتی‌ها و زیردریایی‌ها دارد. فولادهایی از این قبیل طی فرایند تولید ناهمسانگرد شده و امکان وقوع پارگی لایه‌ای حین ساخت سازه‌هایی وجود دارد. در تحقیق حاضر مقاومت به پارگی لایه‌ای فولاد HSLA-100 با انجام آزمایش کشش جهت ضخامت طبق استاندارد و نیز بررسی مشخصه‌های آخال‌های این فولاد مورد بررسی قرار گرفته است. نتایج آزمایش کشش جهت ضخامت نشان داد میزان کاهش سطح مقطع این فولاد بالاتر از حداقل مقدار لازم بوده و لذا مقاوم به پارگی لایه‌ای است. همچنین بررسی‌های ریزساختاری حاکی از وجود آخالهایی با مشخصه‌های خاص در ریزساختار این فولاد می‌باشد که نقش آنها در مقاوم نمودن فولاد HSLA-100 در برابر پارگی لایه ای ارزیابی شده است.

کلمات کلیدی: پارگی لایه ای، فولاد HSLA-100، آخال، امتداد ضخامت.

## مقدمه

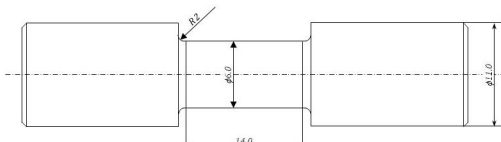
پارگی لایه ای تحت اثر متقابل ناهمسانگردی ورقهای نوردشده و تنش های ناشی از انقباض جوش ایجاد می‌شود (ابیضی، ۱۳۸۷؛ ابیضی و ابراهیمی ۱۳۸۷؛ Bailey، ۱۳۹۴). این عیب دارای طبیعت پیچیده و خطرناکی می‌باشد، بگونه ای که هزینه تعمیرات ناشی از آن در سازه‌ها بسیار قابل توجه بوده و قوع آن در مرحله ساخت باعث بروز تاخیرهای طولانی مدت می‌شود (Baker و Dolby و Farrar). نگرانی از وقوع پارگی لایه ای در سازه های عظیم دریابی، پل ها و ... بسیار حائز اهمیت بوده و هنوز این نگرانی پابرجاست (ابیضی، ۱۳۸۷؛ ابیضی و ابراهیمی ۱۳۸۷؛ Bailey، ۱۳۹۴؛ Farrar و همکاران، ۱۳۸۷). اغلب فولادهای نورد گرم شده که کاربرد قابل توجهی در ساخت چنین سازه هایی دارند، تا حدودی ناهمسانگرد می‌باشند (Ebrahimi و Abyazi و Abbasi و Ebrahimi، ۲۰۰۸). آخالها که حضورشان در فولادها اجتناب ناپذیر بوده و نقش اساسی در ایجاد این ناهمسانگردی دارند، با تضعیف خواص امتداد ضخامت ورق می‌توانند باعث وقوع پارگی لایه ای شوند (Ebrahimi و همکاران، ۲۰۰۸؛ Farrar و Heuschkel، ۱۹۷۱؛ Heuschkel، ۱۹۷۴). سازه های فولادی تحت بارهای تکرارشونده کششی ناشی از بارهای دینامیکی، لازم است از نظر مقاومت به پارگی لایه ای مورد ارزیابی قرار گیرند زیرا احتمال رشد ترک در این نواحی بسیار زیاد است (AWSD1.5). مرکز تحقیقات ساختمان و مسکن، ۱۳۸۲). فولاد HSLA-100 نوعی فولاد نورد گرم شده است که کاربرد زیادی در سازه های دریابی نظیر کشتی ها و زیردریابی ها دارد. با توجه به اعمال بارهای دینامیکی در چنین سازه هایی و همچنین وجود اتصالات حساس در آنها بررسی مقاومت به پارگی لایه ای این فولاد حائز اهمیت است. در تحقیق حاضر مقاومت به پارگی لایه ای فولاد HSLA-100 با انجام آزمایش کشش در امتداد ضخامت و بر اساس استاندارد انجام گرفت و سپس با ارزیابی مشخصه های آخال های موجود در آن، نتایج مورد تحلیل قرار گرفت.

## روش پژوهش

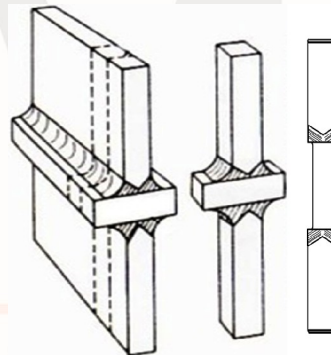
فولاد HSLA-100 مورد تحقیق از ورق با ضخامت ۱۸mm استخراج گردید که ترکیب شیمیایی آن فولاد در جدول DIN EN 10164 نشان داده شده است. تعداد دو نمونه کشش با ابعاد نشان داده در شکل ۱ با استفاده از استاندارد DIN EN 10164 تهیه شد. برای تهیه نمونه های کشش در امتداد ضخامت از دو ورق کمکی با طول معادل ورق مورد بررسی استفاده شد که به روش جوشکاری GMAW با الکترود توپودری مستحکم به ورق HSLA-100 متصل شدند. نوع اتصال نیم جناغی دوطرفه و نفوذ کامل انتخاب شد و پس از جوشکاری با روش رادیوگرافی از سلامت آن اطمینان حاصل شد. با در نظر گرفتن ابعاد نمونه های مورد نیاز، قسمت هایی به تعداد لازم از ورقها بردیه شد. ابتدا مقطع نمونه های کشش توسط ماشین کاری استوانه ای گردیده و در نهایت نمونه های کشش با ابعاد و اندازه های مورد نیاز تهیه شد. ضمناً برای اطمینان از انطباق وسط ضخامت ورق با وسط بخش باریک شده نمونه کشش جهت ضخامت، ابتدا نمونه ها با محلول نیتال ۳ درصد حکاکی شده و پس از رویت خطوط جوش، انطباق کامل ایجاد شد. شمایی از مراحل شرح داده شده برای ساخت نمونه های کشش جهت ضخامت در شکل ۲ نشان داده شده است.

جدول ۱ ترکیب شیمیایی فولاد ۱۰۰ HSLA مورد استفاده در این تحقیق.

عنصر	کربن	منگنز	سیلیسیم	فسفر	گوگرد	مس	کروم	مولیبدن	نیکل	نیوبیم	تیتانیم	وانادیم	درصد وزنی
.۰/۰۴	.۰/۷۸	.۰/۲۵	.۰/۰۰۸	.۰/۰۰۶	.۱/۷۲	.۰/۶۲	.۰/۶۴	.۲/۵۵	.۰/۰۳۳	.۰/۰۰۹	.۰/۰۱۵	.۰/۰۱۵	



شکل ۱ شکل و ابعاد نمونه کشش (ابعاد بر حسب میلیمتر).



شکل ۲ شماتیک از مراحل شرح داده ساخت نمونه‌های کشش امتداد ضخامت.

آزمایش کشش با استفاده از دستگاه هیدرولیک اینسترن (Instorn) مدل ۸۵۰۲ ساخت کشور انگلستان با نرخ کرنش ۱ میلی‌متر بر دقیقه و در دمای اتاق انجام شد. برای اندازه‌گیری کرنش در طول آزمایش کشش از کرنش-ستج استفاده شد و مقادیر لحظه‌ای تنش و کرنش ثبت گردید.

نمونه‌های متالوگرافی با استفاده از سنباده‌های شماره ۲۰۰۰ تا ۲۸۰۰ و نیز پولیش نهایی با خمیر الماسه ۱۵، ۳ و در نهایت ۱ میکرومتر آماده شد. برای مشاهده ریزساختار محلول حکاکی نیتال استفاده شد. بررسی‌های ریزساختاری با کمک میکروسکوپ نوری مدل MPG3 SEM و دستگاه Cam Scan MV2300 مورد بررسی قرار گرفت. مشخصه‌های آخالها نیز با استفاده از نرم افزار image analysis تعیین گردید.

### تجزیه و تحلیل داده‌ها

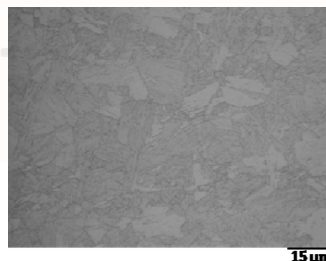
ریزساختار فولاد HSLA-۱۰۰ مورد بررسی در این تحقیق از مارتنتیت تشکیل شده است که در شکل ۳ نشان داده می‌شود. نتایج آزمایش کشش امتداد ضخامت این فولاد در جدول ۲ آورده شده است. این فولاد دارای استحکام

کششی حدود ۹۰۰ MPa و ازدیاد طول نسبی حدود ۲۱ درصد می باشد. سطح شکست نمونه های کشش در شکل ۴ نشان داده شده است. حالت فنجان مخروطی شکست نمونه کشش همچنین وجود حفرات ریز موجود در سطح شکست نشان از انعطاف پذیری کافی و شکست نرم این فولاد می باشد.

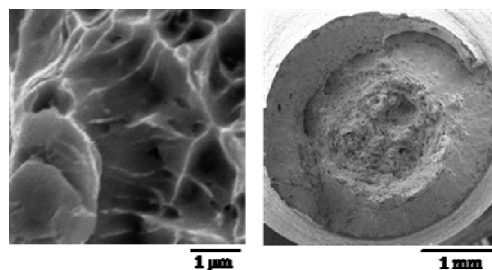
در استانداردها برای ارزیابی حساسیت به پارگی لایه ای به مقدار کاهش سطح مقطع نمونه کشش جهت ضخامت استناد می شود (DIN EN 10164، DIN ۱۹۹۲، ASTM A770/A770M، ۱۹۷۸، Heuschkel: ۱۹۷۴، Farrar: ۱۹۷۱). بگونه ای که ماده با کاهش سطح مقطع کمتر از ۲۵ درصد را حساس به پارگی لایه ای ارزیابی می نمایند (Farrar: ۱۹۷۱). با توجه به اینکه میزان کاهش سطح مقطع نمونه کشش امتداد ضخامت %۴۵ می باشد، لذا فولاد HSLA-100 در برابر پارگی لایه ای مقاوم است. دلیل اصلی این مقاومت به پارگی لایه ای این فولاد را می توان در مشخصه های خاص آخالهای آن جستجو نمود.

جدول ۲ نتایج آزمایش کشش امتداد ضخامت فولاد HSLA-100 مورد استفاده در این تحقیق.

نمونه	استحکام کششی نهایی (مگاپاسکال)	استحکام کششی نهایی (مگاپاسکال)	کاهش سطح مقطع (مگاپاسکال)	ازدیاد طول نسبی (%)	استحکام تسلیم (%)	کاهش (%)
۱	۸۹۶	۸۷۸	۸۷۸	۲۲	۴۵	۴۵
۲	۹۰۸	۸۹۳	۸۹۳	۲۱	۴۵	۴۵
میانگین	۹۰۲	۸۸۶	۸۸۶	۲۱/۵	۴۵	۴۵



شکل ۳ تصاویر میکروسکوپ نوری ریزساختار فولاد HSLA-100.



شکل ۴ سطح شکست نمونه های کشش امتداد ضخامت فولاد HSLA-100.

شکل ۵ تصاویر میکروسکوپ نوری آخال‌های موجود در امتدادهای طولی و ضخامت فولاد HSLA-100 را نشان می‌دهد. این آخال‌ها دارای از دو رنگ متفاوت تشکیل شده‌اند، بگونه‌ای که بخش خاکستری رنگ، بخش تیره رنگ را احاطه نموده است. به این نوع از آخال‌ها اصطلاحاً چشم گاوی<sup>۱</sup> گفته می‌شود که در اثر افزودن کلسیم برای کنترل شکل آخال‌ها ایجاد می‌شود (Lange و Kiessling، ۱۹۷۸). نتایج بررسی آماری به متوسط اندازه آخال‌های موجود در امتداد ضخامت ۳/۲ میکرومتر و بزرگترین آخال آن ۱۲/۷ میکرومتر منتج شد.

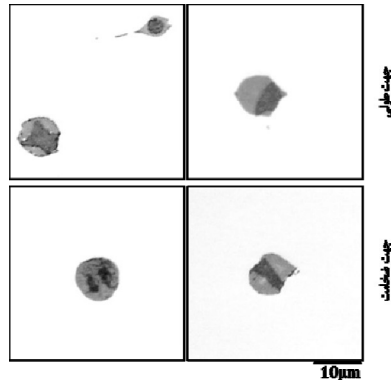
شکل ۶ تصاویر میکروسکوپ الکترونی روبشی آخال‌ها و توزیع عناصر آنرا نشان می‌دهد. مشابه تصاویر میکروسکوپ نوری، در این تصاویر نیز آخال‌ها از دو منطقه تشکیل شده‌اند که بخش خاکستری که بخش تیره رنگ را احاطه کرده است. مطابق شکل ۶ بخش‌های تیره رنگ داخلی شامل اکسیزن و آلومینیم و بخش‌های محاطی خاکستری غالباً شامل کلسیم، گوگرد و منگنز می‌باشد. به این صوت می‌توان این آخال‌ها را کمپلکسی از اکسید آلومینیم-اکسید کلسیم-سولفید منگنز در نظر گرفت. جنس آخال‌های این فولاد را سایر محققان نیز از نوع اکسیدی-سولفیدی تشخیص داده‌اند (Chae و Tarafder، ۲۰۰۴؛ Koss و Chattoraj، ۲۰۰۰؛ Tarafder و Swapani، ۲۰۰۳).

اندیس کرویت آخال‌ها حدود ۷۰٪ تعیین شد که نشان دهنده کروی بودن آخال‌های موجود در این فولاد است که در حین نورد تغییرشکل پلاستیک چندانی نداده‌اند. این امر می‌تواند بدلیل افزودن کلسیم حین فولادسازی باشد. به این صورت که در نتیجه‌ی فراوری مذاب و افزودن عناصر آلیاژی تعداد، اندازه، ترکیب شیمیایی و مورفولوژی آخال‌ها کنترل می‌شود. نشان داده شده است که افزودن کلسیم می‌تواند مورفولوژی آخال‌ها را اصلاح نماید (عباسی فیروزجاه، ۱۳۷۸؛ Ghosh و Griffin، ۲۰۰۱؛ Bares، ۲۰۰۰).

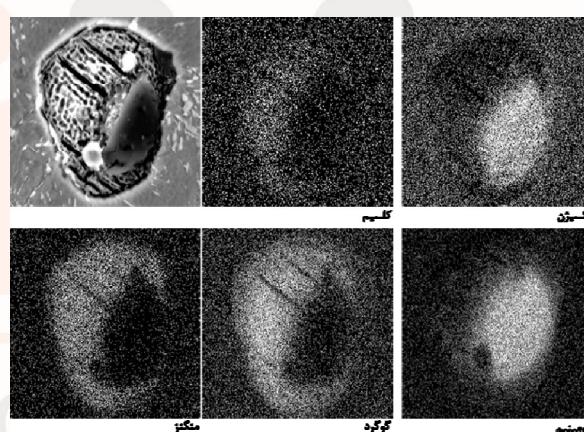
با توجه به اینکه انرژی آزاد تشکیل اکسید کلسیم در بین اکسیدهای رایج حداقل مقدار است، از این‌رو کلسیم تمایل زیادی به اکسیزن دارد (Lange و Kiessling، ۱۹۷۸). اکسید کلسیم تشکیل شده سپس با آخال‌های گوشه‌دار و سخت اکسید آلومینیم واکنش داده و کمپلکس اکسید آلومینیم-اکسید کلسیم<sup>۲</sup> تشکیل می‌دهند. این کمپلکس‌ها در دمای فولادسازی مذاب بوده و بصورت متناوب در مذاب شناور می‌شوند.

1- Bull's eye

2- CaO-Al<sub>2</sub>O<sub>3</sub>



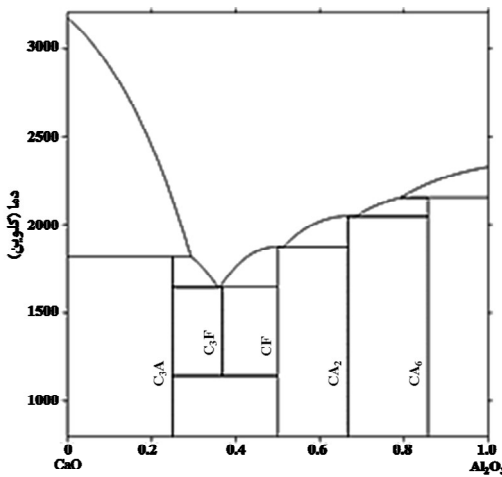
شکل ۵ تصاویر میکروسکوپ نوری آخالهای امتداد ضخامت فولاد HSLA-100.



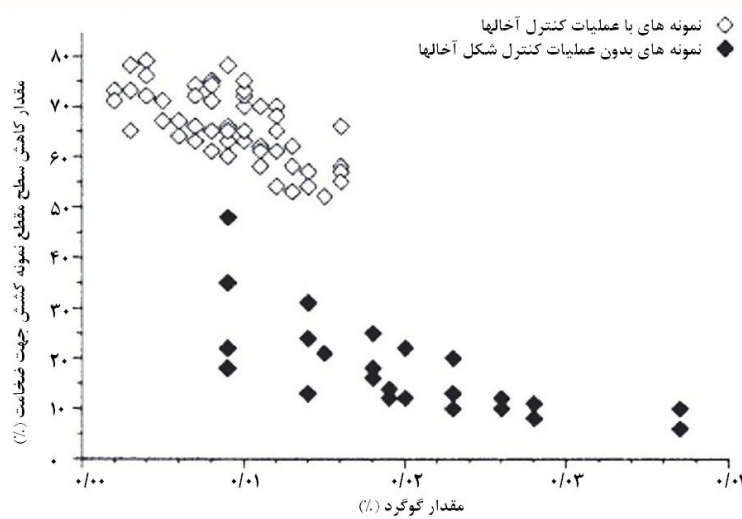
شکل ۶ تصاویر میکروسکوپ الکترونی روبشی آخالها و توزیع عناصر آن در فولاد HSLA-100.

نتیجه‌ی آن یک فولاد اکسیژن‌زدایی شده شامل مقدار اندکی از آخالهای مضر اکسید آلومینیم و مقدار زیادتری از آخالهای گلوبولی با شکل پذیری اندک آلومینات‌های کلسیم است (Kiessling, ۱۹۸۹). همچنین نشان داده شده است که افروختن کلسیم در کنترل شکل سولفید و کاهش مقدار گوگرد پاتیل نقش دارد (Bares و Griffin, ۲۰۰۰؛ Shi و Atkinson, ۱۹۹۹؛ Wilson, ۲۰۰۳). مطابق دیاگرام فازی شکل ۷ آلومینات کلسیم در دمای فولادسازی بصورت مذاب می‌باشدند. به این صورت آخالهای مذاب آلومینات کلسیم باقی‌مانده در فولاد مذاب در طول خنک‌شدن و انجماد با گوگرد واکنش می‌دهند. از این‌رو تجمع سولفید منگنز موجود در نواحی بین دندریتی حذف شده یا بسیار اندک می‌گردد (Kiessling, ۱۹۸۹). تعداد و اندازه آخالهای کشیده شده و مضر سولفید منگنز کاهش یافته و آنها را به آخالهای کمپلکس متخلخل از سولفیدهای کلسیم-منگنز<sup>۳</sup> تبدیل می‌نماید که حین نورد گرم تغییر‌شکل نمی‌دهند (Bares و Griffin, ۲۰۰۰؛ Maiti و Hawbolt, ۱۹۸۵). به این ترتیب با کنترل شکل

سولفیدها توسط افزودن کلسیم و با کاهش اندازه گوگرد حساسیت به پارگی لایه ای عملاً حذف می شود (Hanus, ۲۰۰۳) (شکل ۸). از اینرو عملیات افزودن کلسیم مقدار گوگرد و اکسیژن فولادها را کاهش داده و آخال های اکسیدی و سولفیدی باقیمانده را اصلاح می کند.



شکل ۷ دیاگرام فازی اکسید کلسیم و اکسید آلومینیم.



شکل ۸ تاثیر شکل و مقدار گوگرد بر کاهش سطح مقطع نمونه کشش جهت ضخامت به عنوان معیاری از حساسیت به پارگی لایه ای (Hanus, ۲۰۰۳).

### نتیجه گیری

- ۱- انجام آزمون کشش در امتداد ضخامت فولاد HSLA-100 نشان داد که میزان کاهش سطح مقطع آن بالاتر از حداقل مقدار لازم و لذا مقاوم به پارگی لایه ای است.
- ۲- بررسی اندازه آخلهای موجود در فولاد HSLA-100 نشان داد که از متوسط اندازه  $\frac{3}{2}$  میکرومتر و اندیس کرویت  $\frac{1}{8}$ . برخوردارند و طی نورد گرم کشیده نشده‌اند.
- ۳- آخلهای موجود به صورت ترکیبی پیچیده از اکسید آلومینیم-اکسید کلسیم-سولفید منگنز هستند، بگونه‌ای که هاله ای از سولفید منگنز بخش آلومینیایی واقع در مرکز را احاطه نموده است.

### مراجع

ابیضی، آزو (۱۳۸۷). بررسی پارگی لای ای فولاد S355N. تبریز: پایاننامه کارشناسی ارشد، دانشگاه صنعتی سهند.  
ابیضی، آزو و ابراهیمی، علیرضا. (۱۳۸۷). "بررسی پارگی لایه ای در محل اتصال دیاگونال به lower آرک پل میانگذر دریاچه ارومیه". دومین کنفرانس بین المللی بازرگانی غیرمخرب، ۳۰ مهر و ۱ آبان ۱۳۸۷، تهران.  
عباسی فیروزجاه، مجید (۱۳۷۸). بررسی روش اکسیژن زدایی بر مشخصه های آخال و خواص مکانیکی فولاد AISI:۹۳۳۵ تهران: پایاننامه کارشناسی ارشد، دانشگاه علم و صنعت ایران.  
مرکز تحقیقات ساختمان و مسکن (۱۳۸۲). آین نامه طراحی ساختمان ها در برابر زلزله، چاپ سیزدهم، ویرایش دوم، تهران.

ASTM A770/A770M (1978). "Standard Specification for Through-Thickness Tension Testing of Steel Plates for Special Application".

AWS D1.5, (2004). Bridge Welding Code.

Atkinson, H.V., Shi, G. (2003). "Characterization of inclusions in clean steels: a review including the statistics of extremes methods". *Progress in Materials Science*, Vol. 48, Pp. Pp.457–520.

Bailey, N., (1994). "Weldability of ferritic steels". ASM international. The material information society, First edition.

Chae, D., Koss, D.A. (2004). "Damage accumulation and failure of HSLA-100 steel". *Materials Science and Engineering A*, Vol. 366, Pp. 299–309.

Chattoraj, I., Tarafder, M., Swapan K. Das, Tarafder, S (2003). "Hydrogen induced brittle crack growth in Qu-strengthened HSLA-100 steels". *Materials Science and Engineering A*, Vol. 339, Pp. 136–149.

DIN EN 10164 (1993). "Steel Products with improved deformation properties perpendicular to the surface of the product".

Ebrahimi, A. R, Abyazi, A., Abbasi, S M. (2008). "Anisotropy of S355N steel". *International Journal of ISSI*, Vol. 5, No. 2, Pp. 14–20.

Farrar, J C, Dolby, R E, & Baker, R G. (1969). "Minimizing lamellar tearing by improving z-direction ductility". *Welding Research Supplement*, Pp. 274s – 282s.

Farrar, J C. M. (1974). "Inclusion and susceptibility to lamellar tearing of welded structural steels". *Welding Research Supplement*, Pp. 321 S -331S.

Ghosh, A. (2001). "Secondary steel making". London, New York, Washington.

Griffin, J A, Bares, C E (2000). "Clean cast steel technology-machinability and technology transfer". University of Alabama at Birmingham.

- Hanus, F. (2003). "Small cause, large effect – influence of trace elements on the properties and the weldability of structural and pressure vessel steels". *Hydrocarbon Engineering*, Pp. 97-101.
- Heuschkel, J. (1971). "Anisotropy and weldability". *Welding Research Supplement*, Pp. 110S-126S.
- Kiessling, R, & Lange, N. (1978). "Non-metallic inclusion in steel". The metals society, London, 2.ed, part III.
- Kiessling, R, and Lange, N. (1978). "Non-metallic Inclusions in Steel". Parts I-IV, The metal society, London.
- Kiessling, R.K. (1989). "Non-metallic inclusions in Steel". Part 5, The institute of metals, London.
- Maiti, R, Hawbolt, E B. (1985). "Morphology of a semi-killed and a calcium treated X-70 pipeline steel". *Journal of Materials for Energy Systems*, Vol. 6, Pp. 251-262.
- Wilson, A. D. (1999). "Clean steel technology-fundamental to the development of high performance steels". ASTM special technical publication.

iMat  
Conference 2014

This document was created with Win2PDF available at <http://www.daneprairie.com>.  
The unregistered version of Win2PDF is for evaluation or non-commercial use only.